

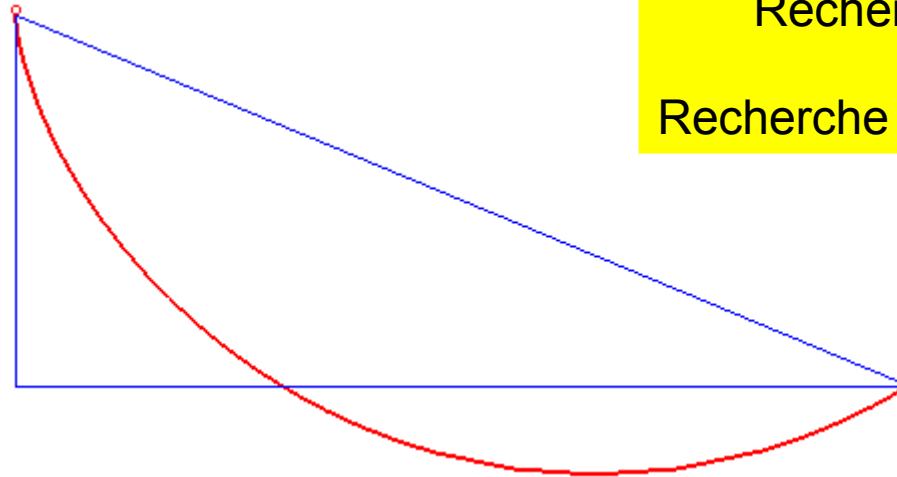


Optimisation continue

Y. Collette



Introduction Historique



Recherche opérationnelle
=
Recherche en opérations militaires

- 1696: Pose du problème du Brachistochrone
- 1696 + 1 jours: Résolution du problème du Brachistochrone par I. Newton (Invention du calcul différentiel par Leibniz)

En fait, résolu simultanément par Leibniz, Newton l'Hôpital et Bernoulli (à qui on attribue la paternité de la résolution)



Introduction Historique

- 1948: Méthode du SIMPLEX pour la programmation linéaire
- 1950: Plusieurs méthode de recherche aléatoires. Méthode à base de gradient: fin 1950
- 1960: Technique d'optimisation séquentielle non-contrainte, Programmation séquentielle linéaire, Méthode des directions réalisables
- 1970: Méthodes des multiplicateurs (SUMT)
- 1980: Méthodes à métrique variable, Méthodes de Programmation Séquentielle Quadratique (SQP)



Introduction Historique

- 1970: Algorithmes Génétiques
- 1980: Recuit simulé
- 2000: Optimisation par essaim particulaire
- 2000: Optimisation par estimation de distribution
- 2000: CMAES

- Plus Gros problème Test Connu
 - 250,000 Variables Avec 250,000 Contraintes Actives
- Plus Gros problème d'Optimisation de structure connu
 - 190,000 Variables d'épaisseur avec contraintes de fréquence
 - 2,000,000 Variables Topologiques



Plan

- Optimisation sans contraintes
- Optimisation avec contraintes
- Optimisation par Programmation séquentielle
- Programmation linéaire
- Transformation de fonction objectif



Optimisation Classique

Optimisation sans contraintes



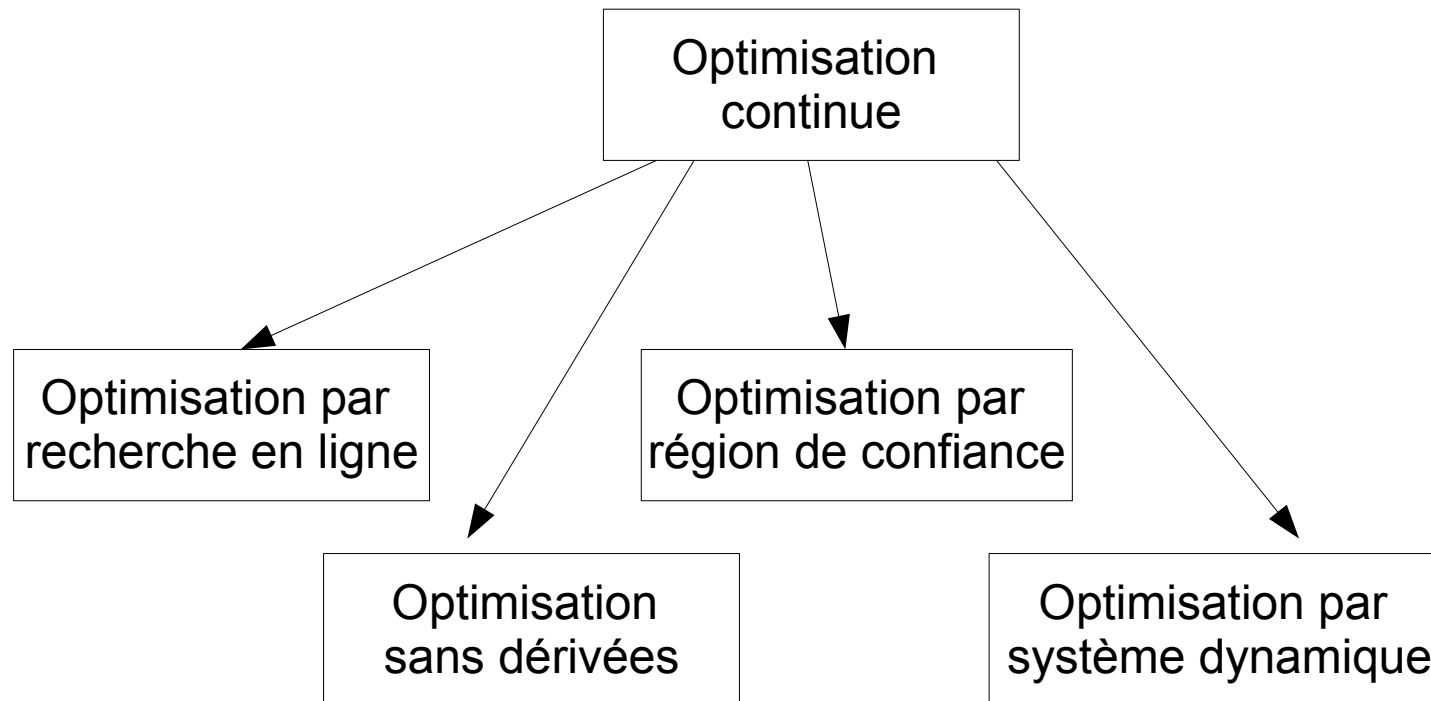
Introduction

Un problème d'optimisation

- Minimiser $f(x)$
- Sachant que $g_i(x) \leq b_i, i = 1, \dots, M$
 $h_j(x) = c_j, j = 1, \dots, L$
 $X_k^L \leq x_k \leq X_k^U, k = 1, \dots, N$
- Avec $f(x), g_i(x), h_j(x)$ des fonctions pouvant être linéaires, non linéaires ou implicites, ayant une dérivée première définie ou non;
- x une variable continue ou non



Différentes approches





Le Processus d'Optimisation

(optimisation par recherche en ligne)

1. Choisir un point initial
2. Trouver une direction de recherche
3. Effectuer une recherche en ligne
4. Vérifier la convergence
5. Si convergence: arrêt sinon, on repart à l'étape 2

Notes:

- Le même algorithme codé par différentes personnes se comportera de façon différente
- Partir d'un point initial différent produira une solution différente (bien que la valeur de la fonction objectif soit à peu près la même) –
Méthode Multistart (Méthode du « Couillon » selon J. Gondrand)



Introduction

La stratégie générale

- Etant donné x_0 et $x = x_0$
- A l'itération n , mettre à jour x de la façon suivante : $x_n = x_{n-1} + \alpha \cdot S_n$
- S_n = vecteur de la direction de recherche
- α = taille du pas $\alpha_n = \min_{\alpha} f(x_n + \alpha \cdot S_n)$
- Le calcul de S_n peut nécessiter les gradients
- Le calcul de α (recherche en ligne) va nécessiter le calcul de plusieurs fonctions objectifs



La Recherche en ligne

- A l'itération n , mise à jour de x :
- α est l'inconnue, on cherche donc α minimisant:

$$f(x_{n-1} + \alpha \cdot S_n)$$

- On prend plusieurs valeurs de α et on évalue

$f(x_{n-1} + \alpha \cdot S_n)$ pour chaque α

Ou on optimise f
en fonction de α

– On estime le α qui minimise $f(x)$

- Plusieurs approches possibles:

- Interpolation polynomiale (2nd ordre, 3e ordre)
- Méthode du nombre d'or
- Dichotomie
- Sécante
- Backtracking
- etc.



La Recherche en ligne

Interpolation polynômiale (1/4)

- Soit

$$f(\alpha) = a_0 + a_1 \cdot \alpha + a_2 \cdot \alpha^2 + a_3 \cdot \alpha^3$$

Utilisé par BigDot™
dans Genesis™
<http://www.vrand.com>

- On a

$$\frac{df}{d\alpha} = a_1 + 2 \cdot a_2 \cdot \alpha + 3 \cdot a_3 \cdot \alpha^2$$

$$\frac{d^2 f}{d\alpha^2} = 2 \cdot a_2 + 6 \cdot a_3 \cdot \alpha$$

- Donc

$$\frac{df}{d\alpha} = 0 \rightarrow \alpha^{opt} = \frac{-2 \cdot a_2 \pm \sqrt{4 \cdot a_2^2 - 12 \cdot a_1 \cdot a_3}}{6 \cdot a_3}$$



La Recherche en ligne

Interpolation polynômiale (2/4)

- Exemple:

$$\nabla f = \begin{bmatrix} 1 \\ 2 \end{bmatrix} \quad S = \begin{bmatrix} -1 \\ -2 \end{bmatrix}$$

$$\frac{df}{d\alpha} = \frac{\partial f}{\partial x_1} \cdot \frac{\partial x_1}{\partial \alpha} + \frac{\partial f}{\partial x_2} \cdot \frac{\partial x_2}{\partial \alpha} = \nabla^t S = -5$$

On recherche l'optimum suivant α .d

- Calcul de f pour $\alpha=0,1$ et 2

α	f	df/d α
0	10	-5
1	6	*
2	8	*



La Recherche en ligne

Interpolation polynômiale (3/4)

- Création d'un système de 4 équations et 4 inconnues:

$$\begin{bmatrix} 1 & 0 & 0 & 0 \\ 0 & 1 & 0 & 0 \\ 1 & 1 & 1 & 1 \\ 1 & 2 & 4 & 8 \end{bmatrix} \cdot \begin{bmatrix} a_0 \\ a_1 \\ a_2 \\ a_3 \end{bmatrix} = \begin{bmatrix} 10 \\ -5 \\ 6 \\ 8 \end{bmatrix}$$

- La résolution donne

$$\begin{bmatrix} a_0 \\ a_1 \\ a_2 \\ a_3 \end{bmatrix} = \begin{bmatrix} 10 \\ -5 \\ 0 \\ 1 \end{bmatrix}$$



La Recherche en ligne

Interpolation polynômiale (4/4)

- Recherche du α optimal

$$f(\alpha) = 10 - 5 \cdot \alpha^2 + \alpha^2 \rightarrow \alpha^{opt} = \sqrt{\left(\frac{5}{3}\right)} \simeq 1.291$$

$$\frac{d^2 f}{d \alpha^2} = 7.746 > 0$$

C'est donc un minimum ($d^2 f / d \alpha^2 > 0$)

- Notes:

- α doit être positif (sinon la direction ne pointe plus vers le minimum)
- Se limiter à l'interpolation cubique
- D'abord trouver une borne sur α puis interpoler



La Recherche en ligne

Le Nombre d'Or (1/3)

Méthode de recherche du α basée sur le nombre d'or:

- Trouver des bornes pour α
- Calculer deux points intérieurs de façon à réduire les bornes le plus rapidement possible

$$\alpha_1 = \alpha_U - \tau \cdot (\alpha_U - \alpha_B) \quad \alpha_2 = \alpha_L + \tau \cdot (\alpha_U - \alpha_B)$$
$$\tau = \frac{3 - \sqrt{5}}{2} \simeq 0.38197$$

U: upper
L: lower
B: best

α_1, α_2 : deux valeurs de α qui vont être calculées



La Recherche en ligne

Le Nombre d'Or (2/3)

$$F_1 = \frac{3 - \sqrt{5}}{2}, F_2 = \frac{\sqrt{5} - 1}{2} = 1 - F_1$$

$$F_1 = F_2^2, F_1 + F_2 = 1$$

Définition et propriétés
du nombre d'or

$$\Delta^k = y_1^k - y_3^k = x_3^k - F_1 \Delta^k$$

$$y_1^k = x_1^k + F_1 \Delta^k$$

$$y_2^k = x_1^k + F_2 \Delta^k$$

si $f(y_1^k) < f(y_2^k)$ alors $\Delta^{k+1} = (y_2^k - x_1^k)$ et $x_1^{k+1} = x_1^k, x_3^{k+1} = y_2^k$

si $f(y_1^k) > f(y_2^k)$ alors $\Delta^{k+1} = (x_3^k - y_1^k)$ et $x_1^{k+1} = y_1^k, x_3^{k+1} = x_3^k$

si $f(y_1^k) = f(y_2^k)$ alors $\Delta^{k+1} = (y_2^k - x_1^k) = (x_3^k - y_1^k)$ et

$$x_1^{k+1} = x_1^k, x_3^{k+1} = y_2^k \text{ ou}$$

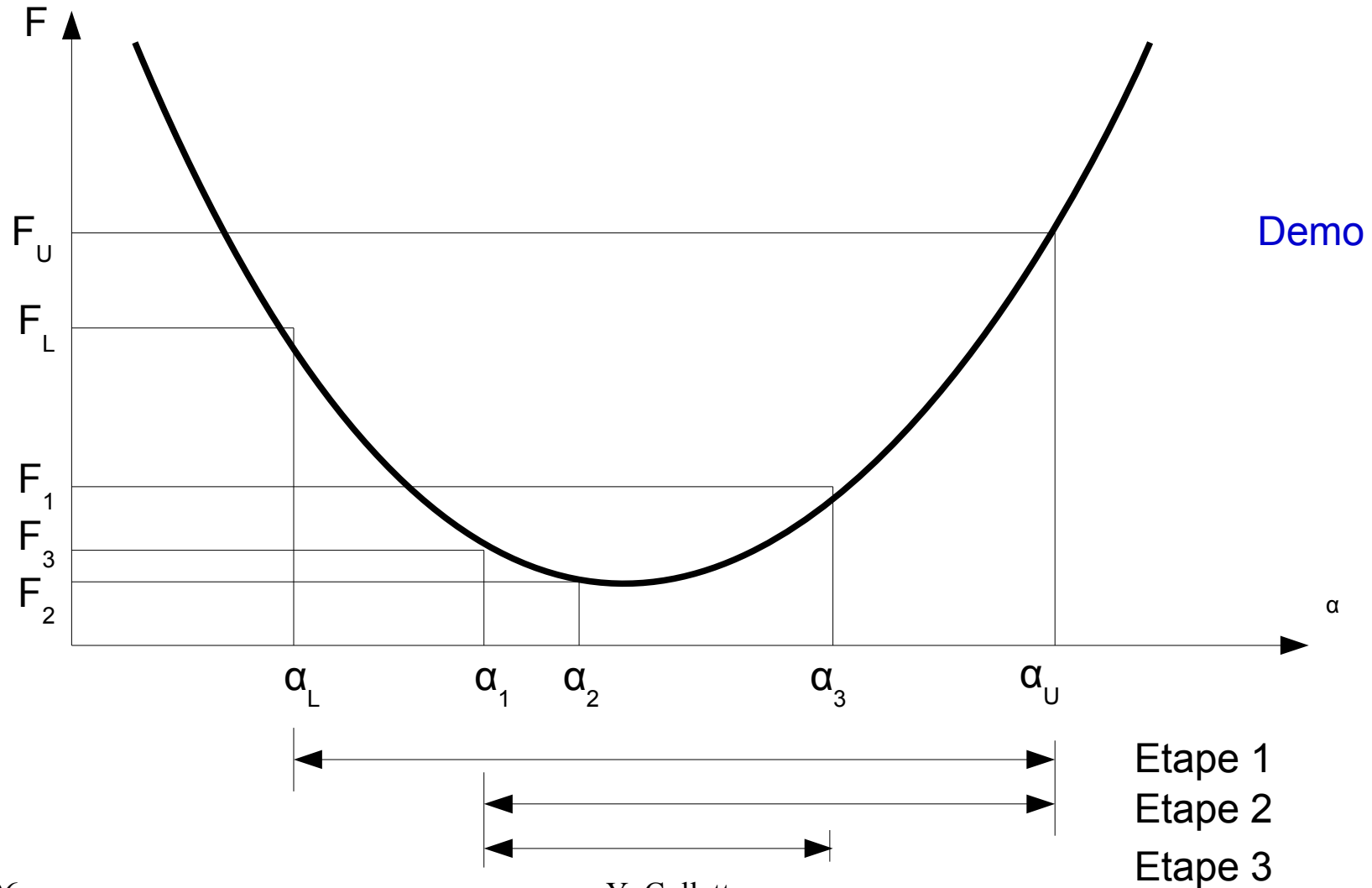
$$x_1^{k+1} = y_1^k, x_3^{k+1} = x_3^k$$

Algorithme de la
méthode du nombre
d'or



La Recherche en ligne

Le Nombre d'Or (3/3)





Les Méthodes d'optimisation

Algorithmes Typiques

Ordre de la dérivée utilisée

Méthode de Rosenbrock	Ordre 0
Méthode de Nelder et Mead	Ordre 0
Steepest Descent	Ordre 1
Fletcher-Reeves	Ordre 1
Davidon-Fletcher-Powell	Ordre 1
Broydon-Fletcher-Goldfarb-Shanno	Ordre 1
Méthode de Newton	Ordre 2



Exemple

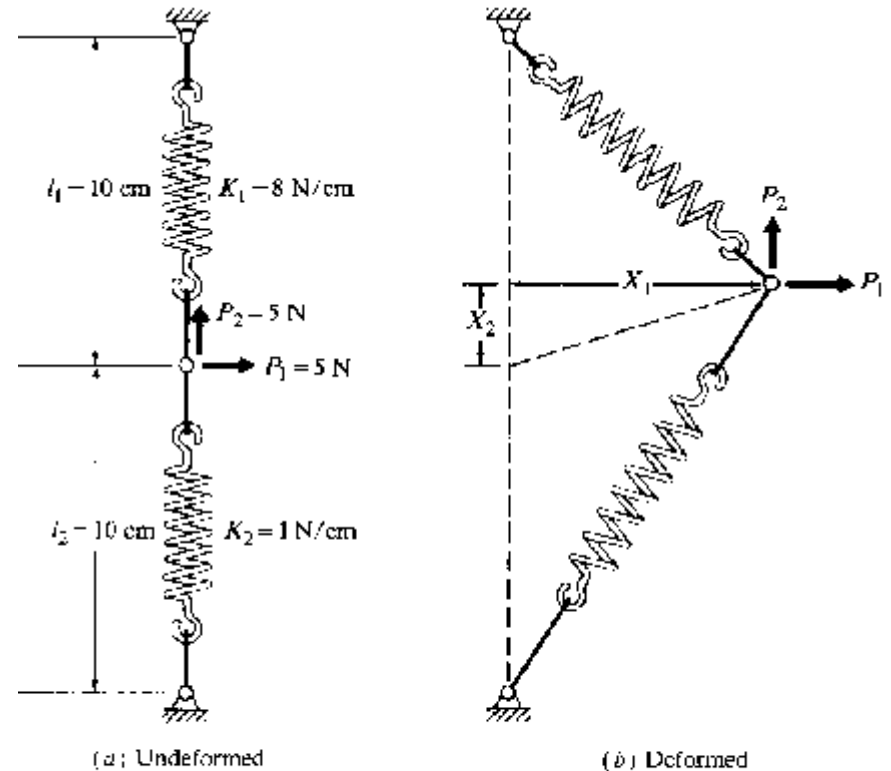
Définition du problème

Minimiser l'énergie potentielle totale PE

$$PE = \frac{1}{2} \cdot K_1 (\Delta L_1)^2 + \frac{1}{2} \cdot K_2 (\Delta L_2)^2 - P_1 X_1 - P_2 X_2$$

$$\Delta L_1 = \left[(10 - X_2)^2 + X_1^2 \right]^{\frac{1}{2}} - 10$$

$$\Delta L_2 = \left[(10 + X_2)^2 + X_1^2 \right]^{\frac{1}{2}} - 10$$

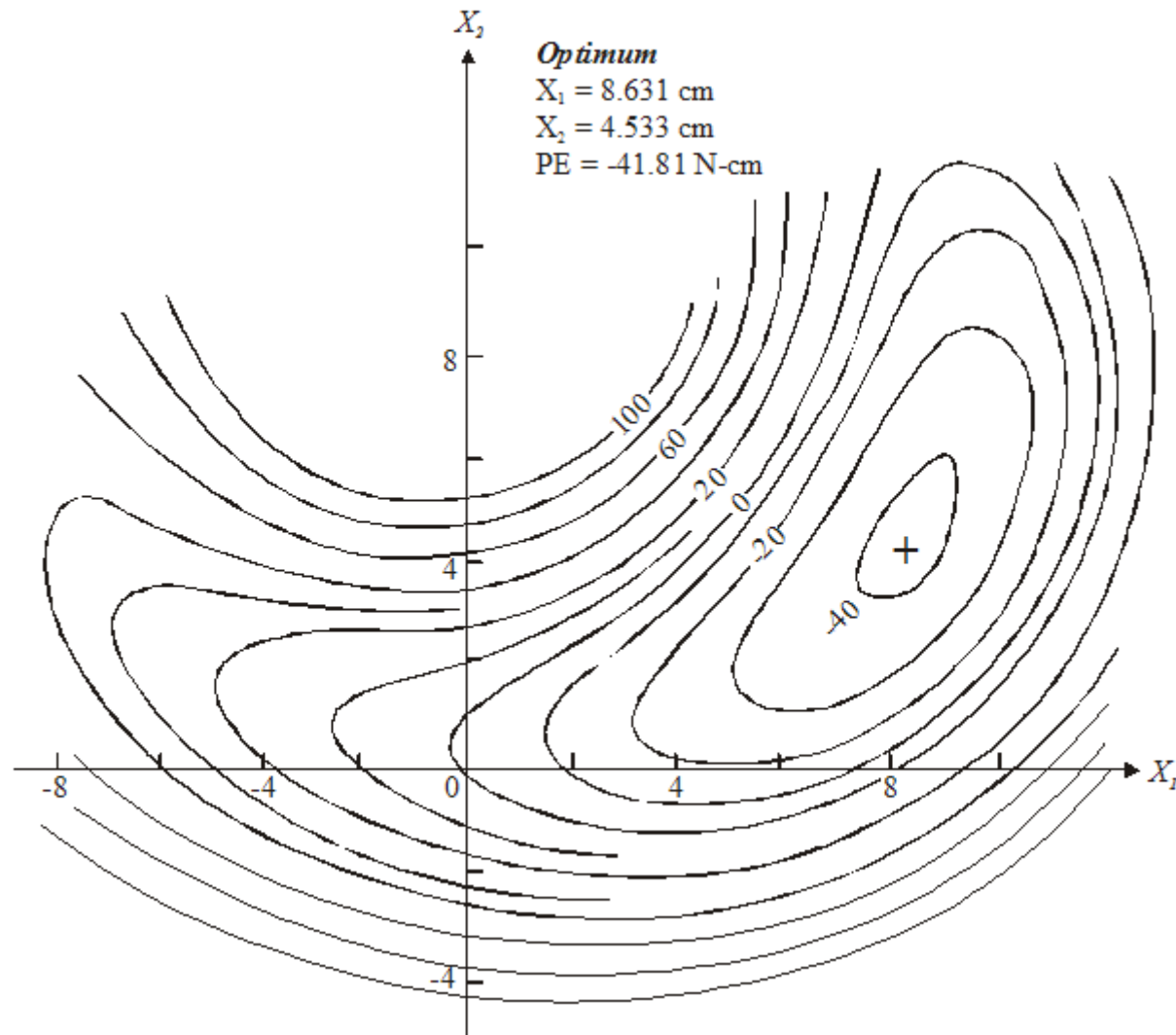


Exemple illustratif extrait d'une présentation de G. Vanderplaats



Exemple

Espace des paramètres





La Méthode de Powell

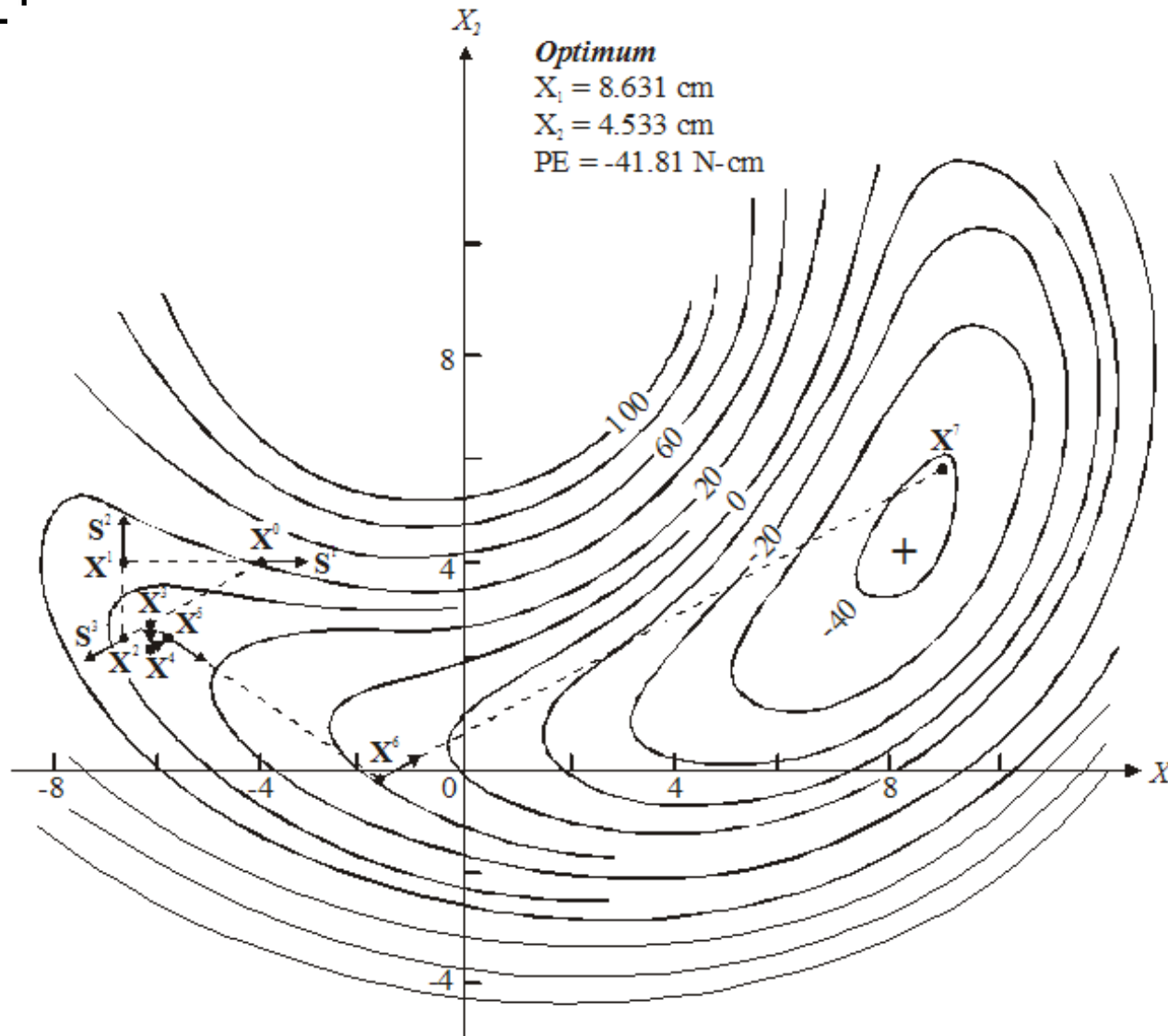
1. Chercher suivant chacune des directions de recherche.
 - α peut être positif ou négatif
 - Mémoriser chaque $\alpha_i^{opt} \cdot S_i$, $i = 1, \dots, n$
2. Chercher suivant la direction conjuguée $S_{n+1} = \sum_{i=1}^n \alpha_i^{opt} \cdot S_i$
3. Mettre tous les $\alpha_i^{opt} \cdot S_i$ en colonnes dans la matrice H, $i = 1, n+1$
4. Supprimer la colonne 1 et décaler les autres colonnes sur la gauche
5. Chercher suivant la direction donnée par les colonnes 1, n
6. Répéter les étapes à partir de 2 jusqu'à convergence

La matrice H contient la base canonique au départ



La Méthode de Powell

Graphiquement





La Méthode de Powell

Conclusion

- Utiliser uniquement les valeurs des fonctions objectif
- Efficace pour des problèmes de petite taille
- Résoud les problèmes quadratiques en n directions conjuguées ou moins



La méthode du Gradient

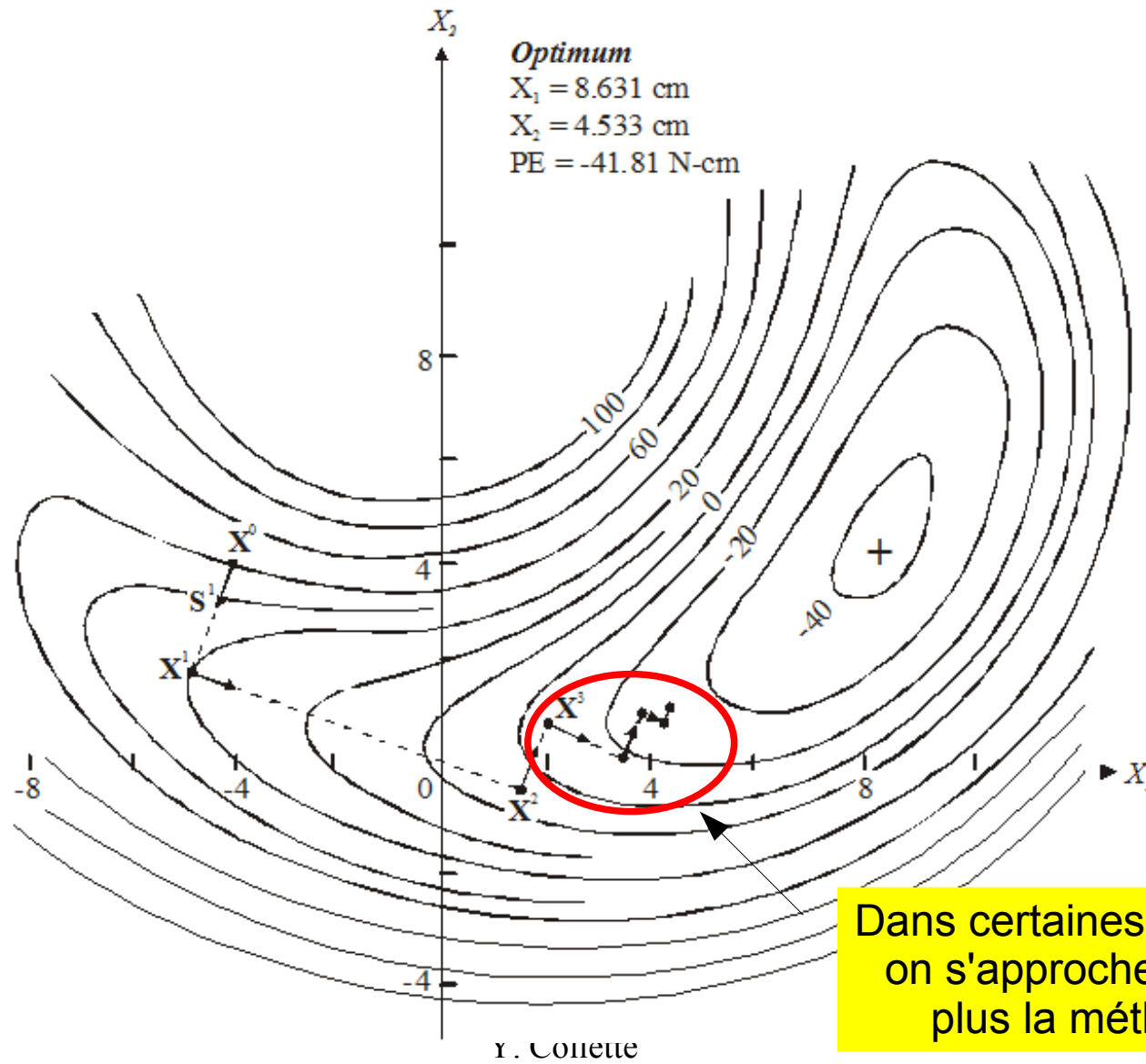
(Méthode « Steepest Descent »)

1. Calculer le gradient ∇f
2. Poser $S = -\nabla f \rightarrow$ *Steepest Descent*
3. Chercher suivant la direction S
4. Répéter les étapes à partir de l'étape 1 jusqu'à convergence



La méthode du Gradient

Graphiquement





La méthode du Gradient

conclusions

- Utilise les valeurs des fonctions objectif et les valeurs de gradient obtenues:
 - analytiquement (différenciation automatique)
 - différences finies (forward, centrale)
- Facile à programmer
- Consomme peu de mémoire
- Inefficace au possible

Méthode à ne surtout pas utiliser

[Demo](#)



Le gradient conjugué

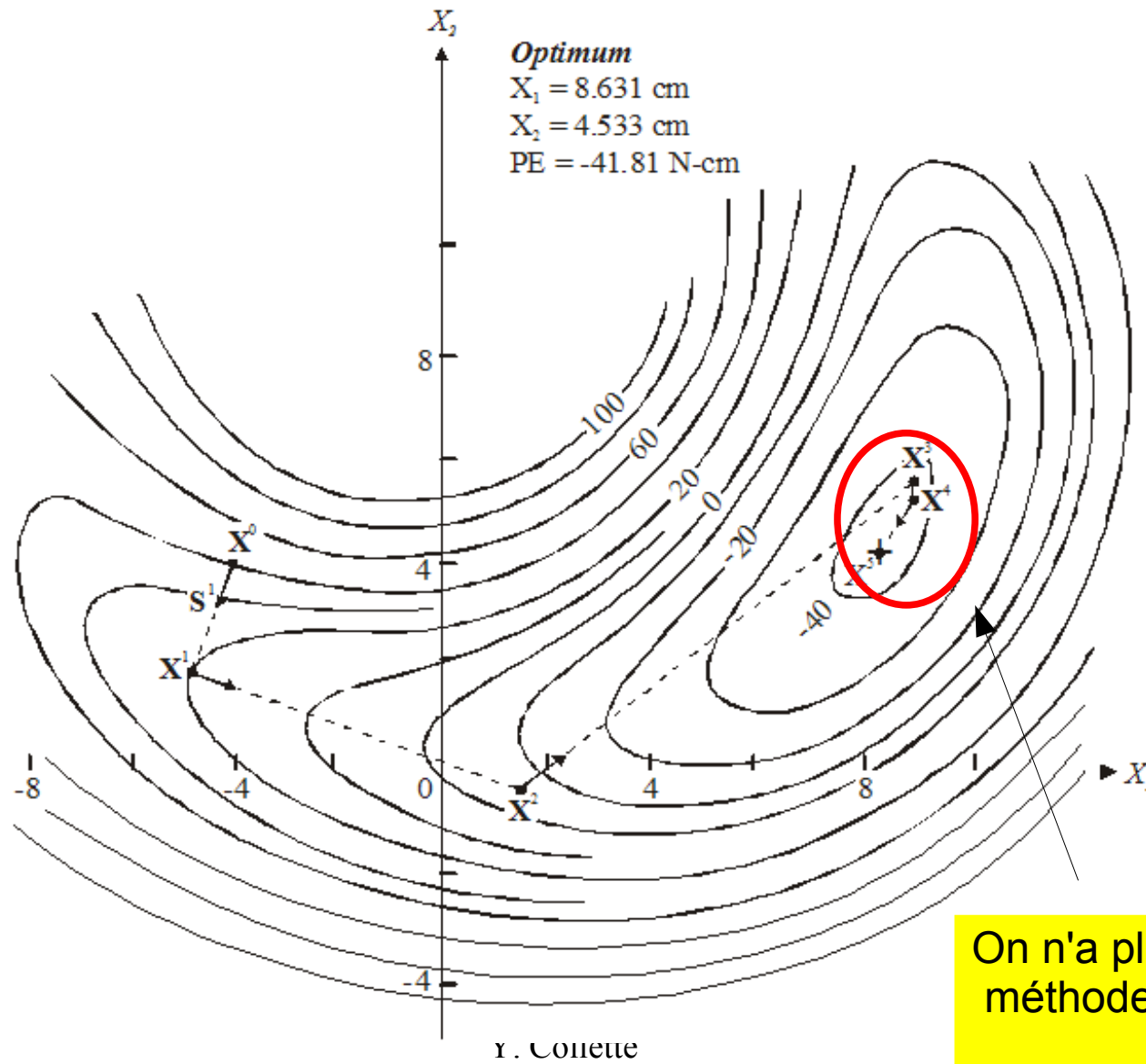
Variante de Fletcher-Reeves

1. Initialisation du compteur d'itérations $n=0$
2. On pose $n=n+1$ et on calcule le gradient ∇f
3. Si $n=1$ alors $S_n = -\nabla f(X_{n-1})$
4. Sinon $\beta = \frac{|\nabla f(X_n)|^2}{|\nabla f(X_{n-1})|^2}$ et $S_n = -\nabla f(X_{n-1}) + \beta \cdot S_{n-1}$
5. Chercher dans la direction S_n
6. Répéter à partir de l'étape 2 jusqu'à convergence



La Méthode de Fletcher-Reeves

Graphiquement



On n'a plus le défaut de la méthode de descente du gradient



La Méthode de Fletcher-Reeves

Conclusions

- Utilise les valeurs de fonction objectif et du gradient
- Facile à programmer [Demo](#)
- Peu gourmand en mémoire
- Converge en n itérations ou moins pour les problèmes quadratiques
- Réinitialiser avec la méthode Steepest Descent quand les progrès ralentissent (après $n+1$ itérations)



La Méthode du gradient conjugué

Divers

Comment on obtient la direction de recherche de Fletcher-Reeves

Direction conjuguée:

Trouver S^{k+1} tel que $S^{k+1} H S^k$

On modélise cette nouvelle direction comme une somme entre la direction donnée par la direction inverse du gradient et la direction suivie lors de l'itération précédente.

$$s^1 = -\nabla f(x^1) + \omega s^0$$

$$s^{0t} H s^1 = 0$$

Un calcul donne :

$$\omega = \frac{\nabla^t f(x^1) \nabla f(x^1)}{\nabla^t f(x^0) \nabla f(x^0)}$$



Hestenes-Stiefel:

$$\omega = \frac{\nabla^t f(x^1) (\nabla f(x^1) - \nabla f(x^0))}{s^0 (\nabla^t f(x^1) - \nabla f(x^0))}$$



Polak-Ribière:

$$\omega = \frac{\nabla^t f(x^1) (\nabla f(x^1) - \nabla f(x^0))}{\nabla^t f(x^0) \nabla f(x^0)}$$



La Méthode de Newton

Introduction

- Considérons un développement Taylor à l'ordre 2
$$\tilde{f} = f + \nabla f^t \cdot \delta X + \frac{1}{2} \delta X^t \cdot H \cdot \delta X$$
$$\delta X = X - X_0$$
- On obtient un minimum en $\nabla \tilde{f} = 0$ (H étant définie-positive)

$$\nabla \tilde{f} = \nabla f_0 + H \cdot \delta X = 0 \text{ d'où } X = X_0 - H^{-1} \cdot \nabla f_0$$

- Comme le problème général n'est pas totalement quadratique, on utilise δX comme direction de recherche S puis on applique une recherche unidimensionnelle

Plein de difficultés
apparaissent à cet endroit



La Méthode de Newton

Exemples et algorithme

Demo 1D

Demo 2D

1. Calculer $\nabla f(X_{n-1})$ et $H(X_{n-1})$
2. Poser $S_n = -H(X_{n-1})^{-1} \cdot \nabla f(X_{n-1})$
3. Chercher dans la direction S_n , $\alpha = 1$ étant un bon départ
4. Répéter les étapes à partir de l'étape 1 jusqu'à convergence

Pas utilisé comme tel car
Hessien difficile à obtenir



Les Méthodes à Métrique Variable

Introduction

- Direction de recherche $S_n = -H \cdot \nabla f(X_{n-1})$
- Après la recherche unidimensionnelle, mettre à jour l'estimation de H:

$$H_{n+1} = H_n + D_n$$

$$D_n = \frac{\sigma + \theta \cdot \tau}{\sigma^2} p \cdot p^t + \frac{\theta - 1}{\tau} (H_n \cdot y)(H_n \cdot y)^t - \frac{\theta}{\sigma} [(H_n \cdot y \cdot p^t) + p(H_n \cdot y)^t]$$

- Où

$$p = X_n - X_{n-1}, \quad y = \nabla f(X_n) - \nabla f(X_{n-1}), \quad \sigma = p^t y, \quad \tau = y^t \cdot H_n \cdot y$$

$\theta = 0$ pour la méthode DFP

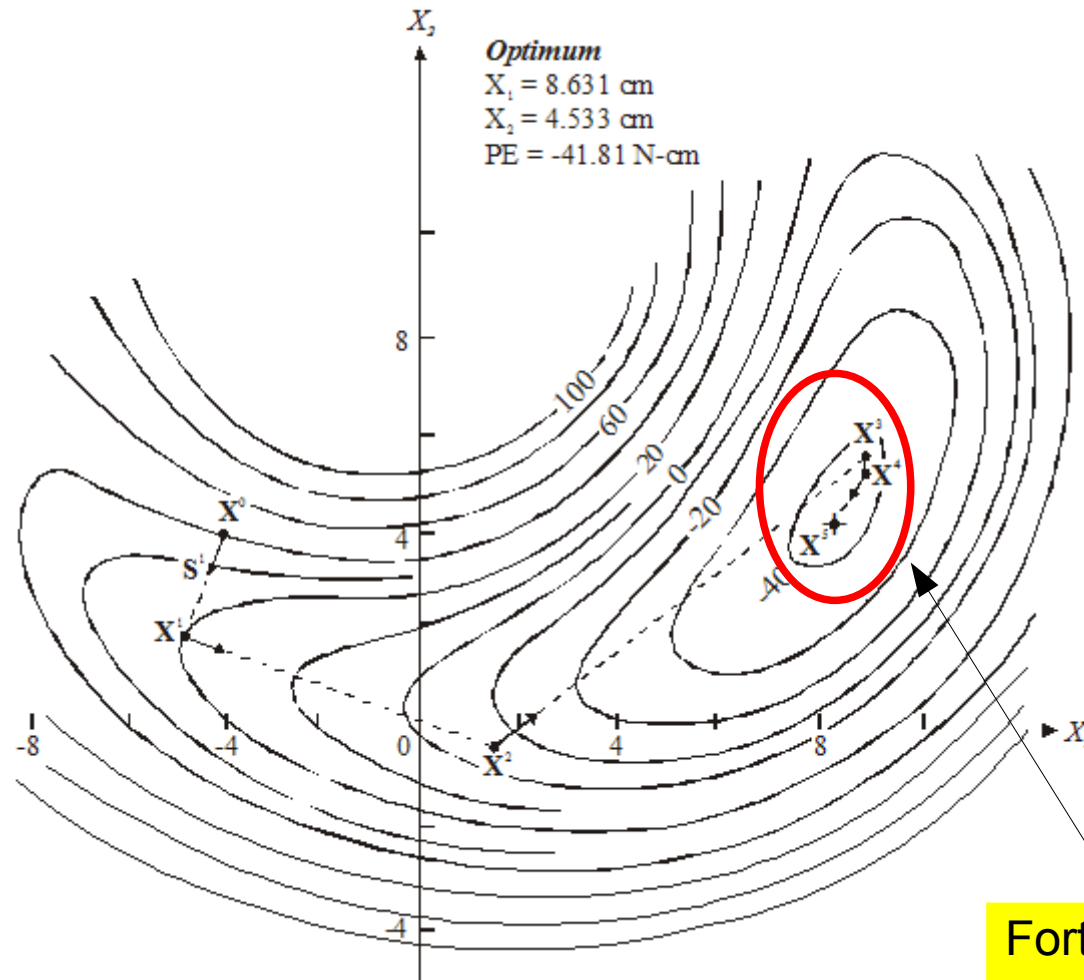
Autre méthode: SR1

$\theta = 1$ pour la méthode BFGS



Les Méthodes à Metrique Variable

Graphiquement



Forte ressemblance
avec le gradient
conjugué



Les méthodes à Métrique Variable

Interêt matrice définie positive

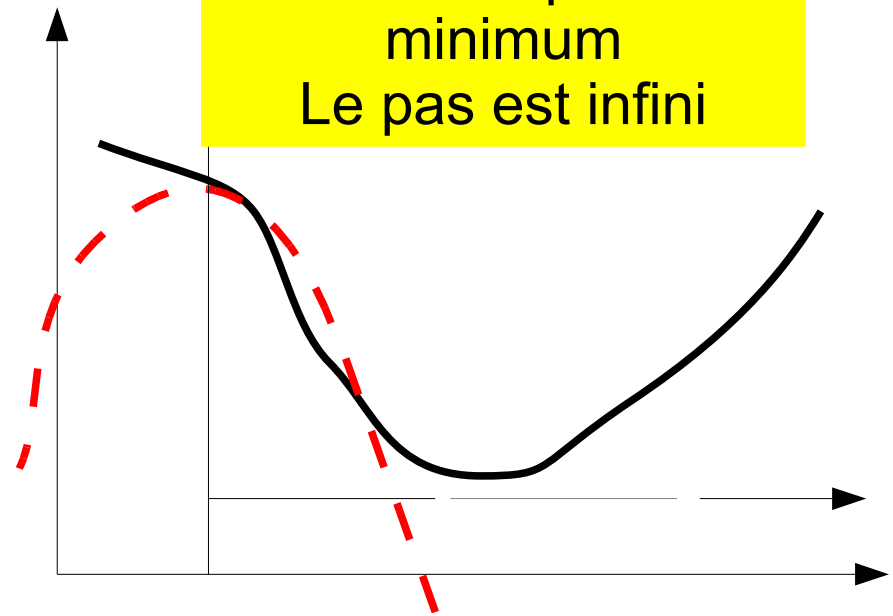
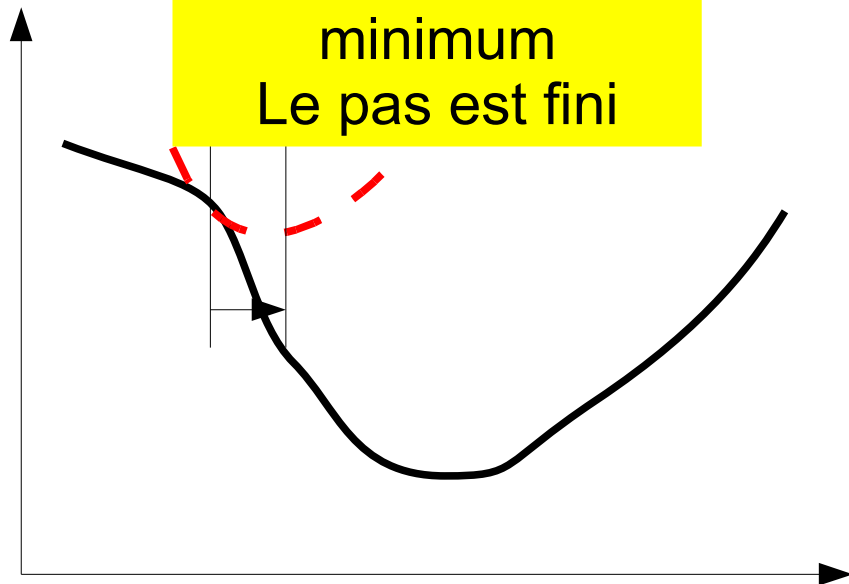
$$y = a + bx + cx^2$$

$c > 0$

$c < 0$

Il existe un
minimum
Le pas est fini

Il n'existe pas de
minimum
Le pas est infini





Les Méthodes à Métrique Variable

Conclusions

- Utilise les valeurs de fonction objectif et de gradient
- Plus difficile à programmer [Demo](#)
- Grosse consommation de mémoire (matrice H – pas tout le temps creuse)
- Converge en n itérations ou moins pour les problèmes quadratiques
- Réinitialisation avec la méthode Steepest Descent lorsque la performance ralentie (après $n+1$ itérations)
- Pour la consommation mémoire, il y a L-BFGS



Comparaison de Méthodes

1. Méthode de Powell
2. Méthode Steepest Descent
3. Méthode Fletcher-Reeves
4. Méthode DFP
5. Méthode BFGS
6. Méthode de Newton

La recherche en ligne est faite par interpolation polynômiale

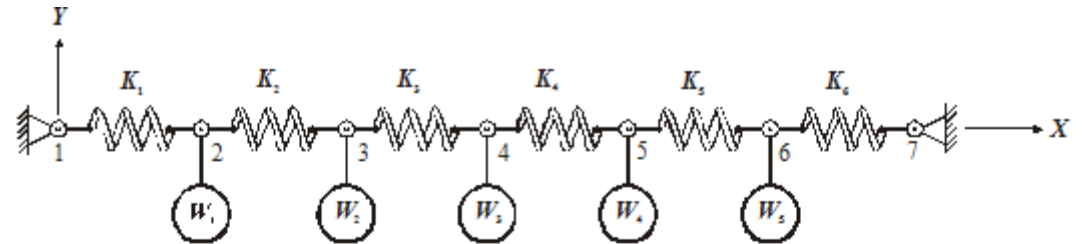


Comparaison de méthodes

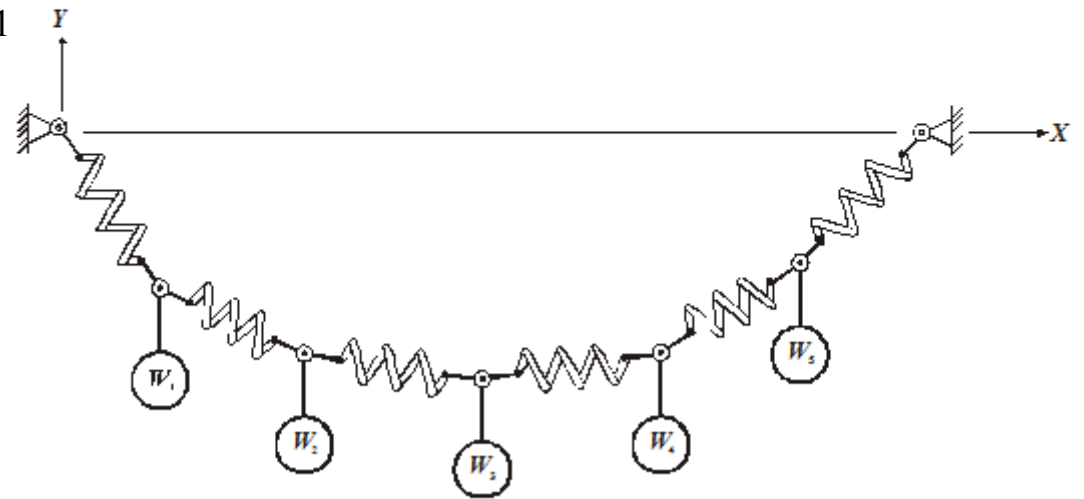
Le problème test

Minimisation de l'énergie potentielle totale :

$$PE = \sum_{i=1}^{N+1} \frac{1}{2} K_i \cdot \Delta L_i + \sum_{j=1}^N W_j \cdot Y_{j+1}$$



(a) Undeformed position



(b) Deformed position

Exemple illustratif extrait d'une présentation de G. Vanderplaats



Les Méthodes d'optimisation

Algorithmes Typiques

Nom de la méthode	Ordre de la méthode	No
Méthode de Powell	Ordre 0	1
Méthode du gradient	Ordre 1	2
Fletcher-Reeves	Ordre 1	3
Davidon-Fletcher-Powell	Ordre 1	4
Broydon-Fletcher-Goldfarb-Shanno	Ordre 1	5
Méthode de Newton	Ordre 2	6



Comparaison de méthodes

Résultats

Variable de Décision	Valeur Initiale	Méthode					
		1	2	3	4	5	6
X_2	10	10.3	10.3	10.4	10.2	10.2	10.4
X_3	20	21.1	20.7	21.1	20.8	20.8	21.1
X_4	30	31.7	31.0	31.6	31.4	31.4	31.7
X_5	40	42.1	41.3	42.0	41.8	41.7	42.1
X_6	50	51.8	51.1	51.6	51.4	51.4	51.8
Y_2	0	-4.28	-2.65	-3.96	-4.64	-4.64	-4.28
Y_3	0	-7.90	-5.25	-7.77	-8.19	-8.19	-7.90
Y_4	0	-9.86	-7.35	-10.2	-10.0	-10.0	-9.86
Y_5	0	-9.40	-7.63	-9.52	-9.18	-9.19	-9.40
Y_6	0	-6.01	-4.97	-5.79	-5.42	-5.43	-6.01

- 1 – Powell
- 2 – Gradient
- 3 – FR
- 4 – DFP
- 5 – BFGS
- 6 – Newton



Comparaison de méthodes

Résultats

Itération	Méthode					
	1	2	3	4	5	6
0	0.0	0.0	0.0	0.0	0.0	0.0
1	0.0	-60	-60	-60	-60	-1256
2	0.0	-126	-292	-292	-292	-1618
3	0.0	-151	-661	-666	-666	-1987
4	0.0	-194	-1148	-941	-941	-2175
5	0.0	-223	-1559	-1430	-1432	-2330
10	-1722	-1958	-3540	-2573	-2572	-3539
20	-2623	-2621	-4393	-4340	-4340	-3740
Finale	-4416	-3964	-4393	-4378	-4378	-4416
Itérations	178	40	22	26	26	19
Analyses	465	578	331	383	383	378

- 1 – Powell
- 2 – Gradient
- 3 – FR
- 4 – DFP
- 5 – BFGS
- 6 – Newton

Nombre d'appels
à la fonction
objectif



La méthode LFOP

Introduction

LFOP = Leap-Frog OPTimizer

On résoud l'équation du mouvement « modifiée » :

$$M \cdot \frac{\partial^2 x}{\partial t^2} = -\nabla f$$

Pour favoriser la convergence, on ajoute de l'amortissement :

$$M \cdot \frac{\partial^2 x}{\partial t^2} = -\nabla f - \alpha \cdot \frac{\partial x}{\partial t}$$

Paramètres de la méthode:

Δt : la taille du pas temporel pour la résolution du système dynamique

δ : la taille maximale du pas de recherche

m : si $a_{k+1}^t \cdot a_k$ est non positif pendant m itérations, on réduit Δt et on repart d'un autre point

δ_1 : taux d'accroissement du coefficient de dilatation de Δt

$pstart$: valeur de départ du coefficient de dilatation (1.01 est une bonne valeur)



La méthode LFOP

Algorithme

Algorithme 18 La méthode LFOP1(b).

```
1 : Paramètres utilisateur :  $x_0, \Delta t, \delta, m, \delta_1$ .  
    $i = 0, j = 2, k = -1, s = 0, p = p_{start}$   
2 : Calculer  $a_0 = -\nabla f(x_0)$  et  $v_0 = 1/2 \cdot a_0 \cdot \Delta t$   
3 :  $k = k + 1$  et calculer  $\|\Delta x_k\| = \|v_k\| \cdot \Delta t$   
4 : si  $\|\Delta x_k\| < \delta$  alors aller à l'étape 5a  
   sinon  $v_k = \delta \cdot v_k / (\Delta t \cdot \|v_k\|)$  et aller à l'étape 5b  
5a :  $p = p + \delta_1, \Delta t = p \cdot \Delta t$   
5b : si  $s < m$  alors aller à l'étape 5  
   sinon  $\Delta t = \Delta t / 2, x_k = (x_k + x_{k-1}) / 2$   
        $v_k = (v_k + v_{k-1}) / 4, s =$   
0 et aller à l'étape 5  
5 :  $x_{k+1} = x_k + v_k \cdot \Delta t$   
6 : Calculer  $a_{k+1} = -\nabla f(x_{k+1})$  et  $v_{k+1} = v_k + a_{k+1} \cdot \Delta t$   
7a : si  $a_{k+1}^t \cdot a_k > 0$  alors  $s = 0$  et aller à l'étape 7  
   sinon  $s = s + 1, p = 1$  et aller à l'étape 7  
7 : si  $\|a_{k+1}\| \leq \epsilon$  alors STOP  
   sinon aller à l'étape 8  
8 : si  $\|v_{k+1}\| > \|v_k\|$  alors  $i = 0$  et aller à l'étape 3  
   sinon  $x_{k+2} = (x_{k+1} + x_k) / 2, i =$   
 $i + 1$  et aller à l'étape 9  
9 : si  $i \leq j$  alors  $v_{k+1} = (v_{k+1} + v_k) / 4$  et  $k =$   
 $k + 1$  et aller à l'étape 6  
   sinon  $v_{k+1} = 0, j = 1, k = k + 1$  et aller à l'étape 6
```

Utilisé dans l'outil LS-Dyna (via la toolbox LS-Opt)

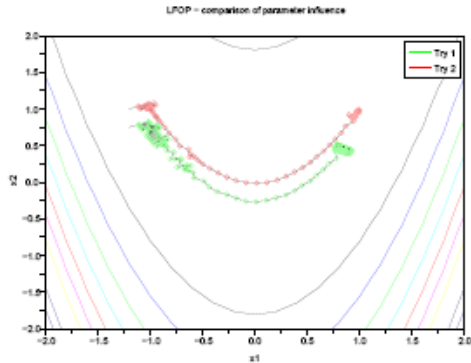
De nombreuses applications industrielles:

- Crash;
- Optimisation de structure;
- ...

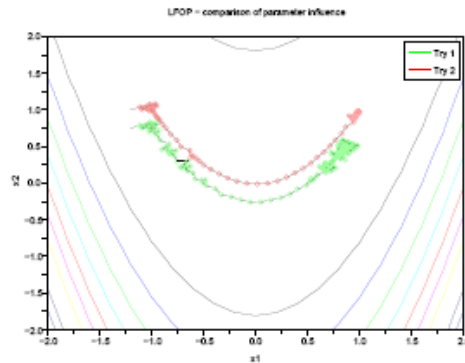


La méthode LFOP

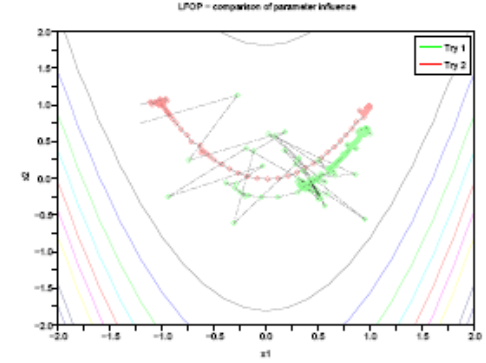
Essais de paramétrage



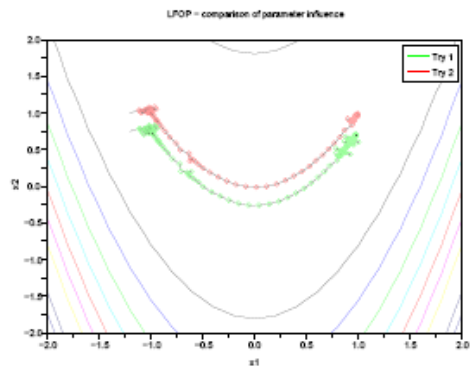
Influence du paramètre m



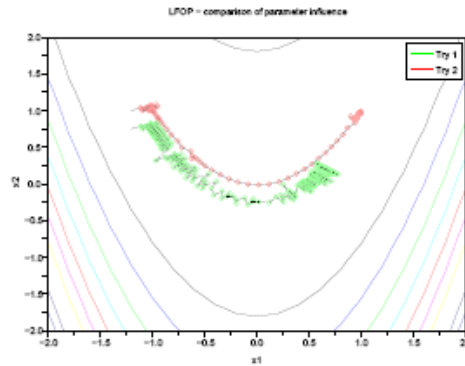
Influence du paramètre δ_1



Influence du paramètre δ



Influence du paramètre Δt



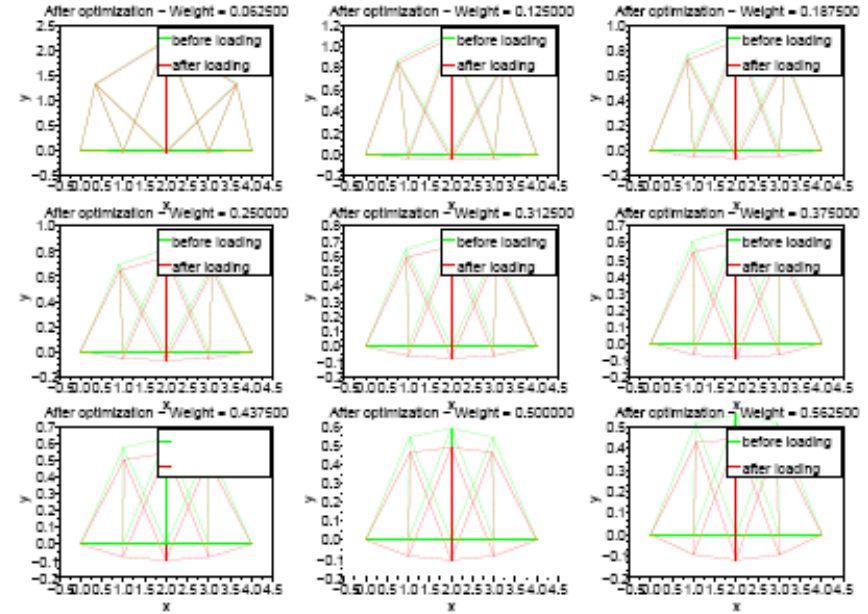
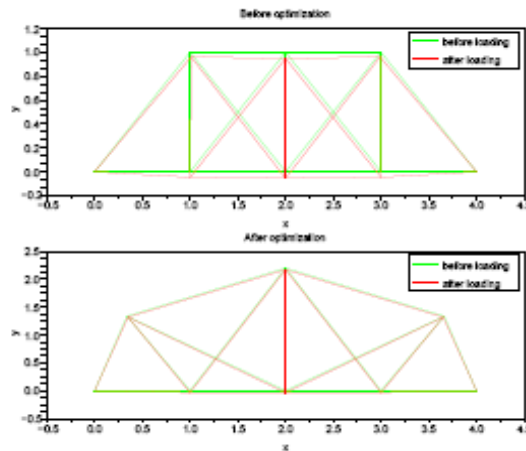
Influence du paramètre p_{start}

	Paramètres nominaux	Paramètres modifiés
m	3	10
δ_1	0.01	0.1
δ	0.1	1
Δt	0.5	5
p_{start}	1.1	2.1

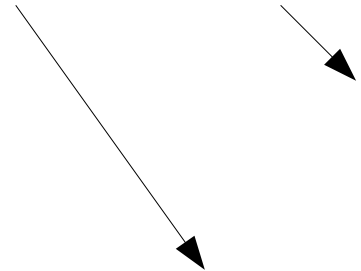


Quelques applications

Pont et gradient conjugué



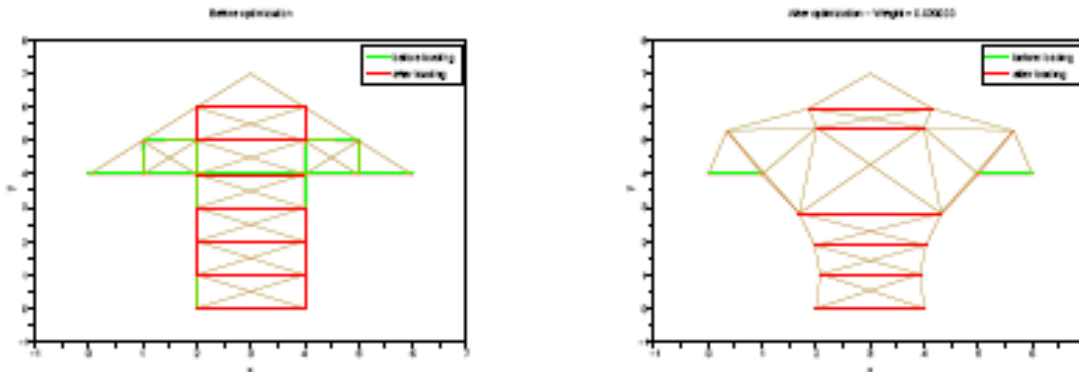
Minimiser la déformation



Minimiser la déformation **et** la longueur totale des barres



Pylône et la méthode LFOP





Convergence

Quelques critères d'arrêt

- Nombre maximum d'itérations
- Conditions KKT satisfaites de façon raisonnable

$$|\nabla f(X)| \leq \epsilon_g$$

- Chute de performance
 - Atteinte depuis un ou plusieurs itérations

- Absolue $|f(X_q) - f(X_{q-1})| \leq \epsilon_A$

- Relative $\left| \frac{f(X_q) - f(X_{q-1})}{f(X_{q-1})} \right| \leq \epsilon_R$



La recherche en ligne imparfaite

Introduction

- Chercher à localiser avec précision la position d'un optimum dans une recherche en ligne coûte très cher en itérations !
- Cette précision n'est pas nécessaire au bon fonctionnement des méthodes d'optimisation
- Recherche en ligne imparfaite: « Backtracking »
- Repose sur la définition de la définition de la qualité suffisante d'un α :
 - Condition de Armijo
 - Condition de Goldstein
 - Condition de Wolfe
 - Condition de Wolfe Forte



La Recherche en ligne

Pas initial et Backtracking

Choix du pas initial

Pour les méthodes de Newton et quasi-Newton: $\alpha_0 = 1$

Pour les autres méthodes: $\alpha_0 \cdot \nabla f(x_k)^t \cdot p_k = \alpha_{k-1} \cdot \nabla f(x_{k-1})^t \cdot p_{k-1}$

Backtracking \rightarrow opt++ + limite sur le nombre max d'itérations

Choisir $\bar{\alpha} > 0, \rho, c_1 \in]0, 1[$

$\alpha = \bar{\alpha}$

repeat

$\alpha = \rho \cdot \alpha$

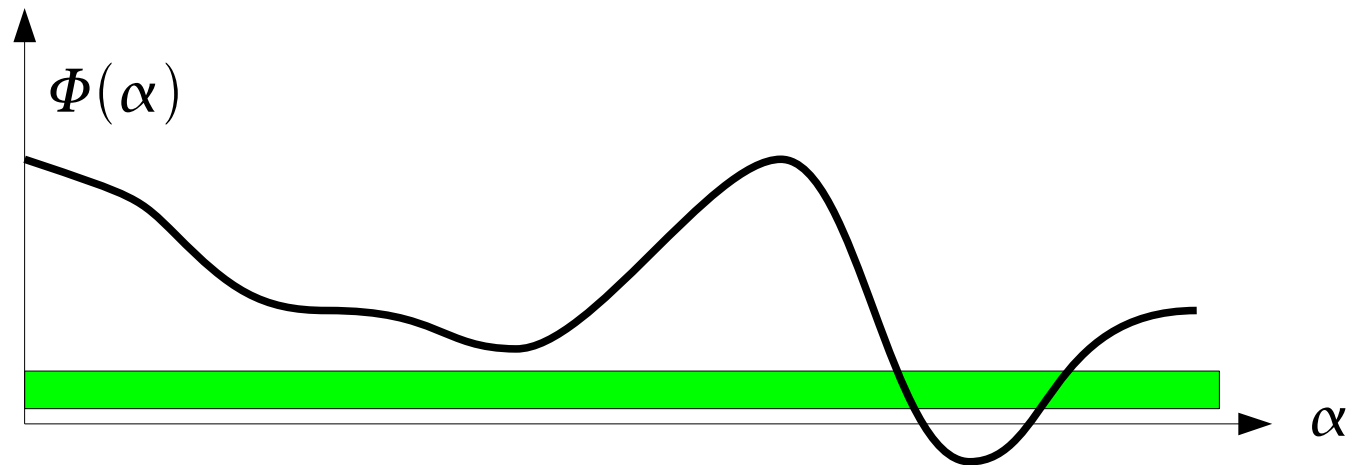
until $f(x_k + \alpha \cdot p_k) \leq f(x_k) + c_1 \cdot \alpha \cdot \nabla f(x_k)^t \cdot p_k$



La Recherche en ligne

Condition de base

On pose $\Phi(\alpha) = f(x_k + \alpha \cdot p_k) \quad \alpha > 0$



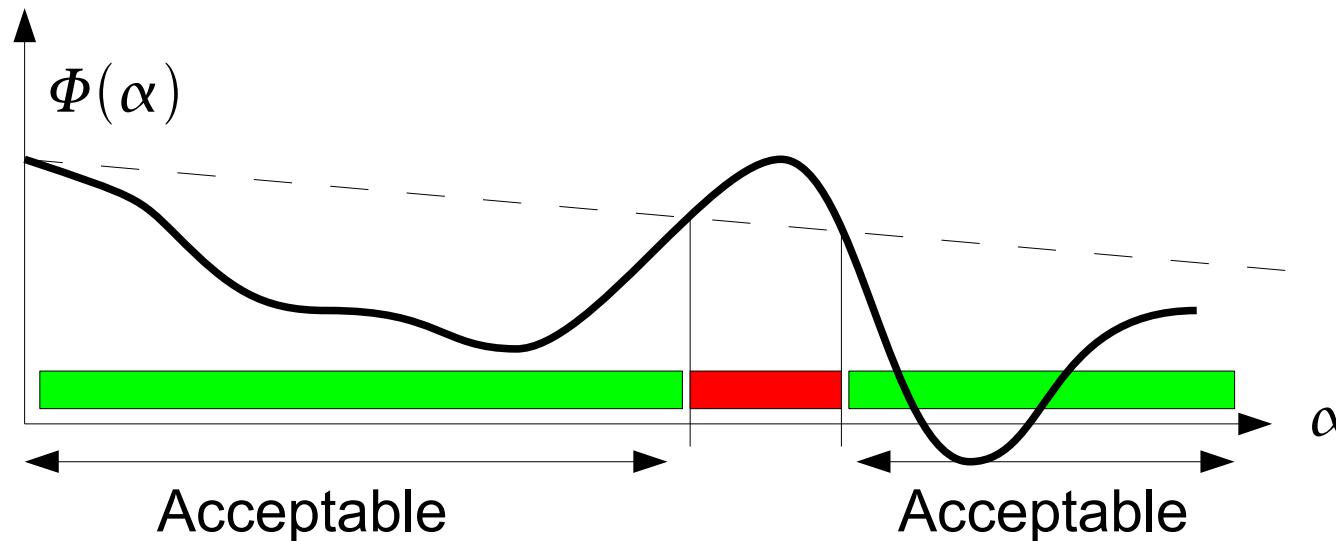
On impose $f(x_k + \alpha \cdot p_k) < f(x_k)$
→ Pas suffisant



La Recherche en ligne

Condition d'Armijo

On pose $\Phi(\alpha) = f(x_k + \alpha \cdot p_k)$ $\alpha > 0$



Condition utilisé
dans la méthode de
Backtracking

On impose $f(x_k + \alpha \cdot p_k) \leq f(x_k) + c_1 \cdot \alpha \cdot \nabla f_k^t(x_k) \cdot p_k = l(\alpha)$

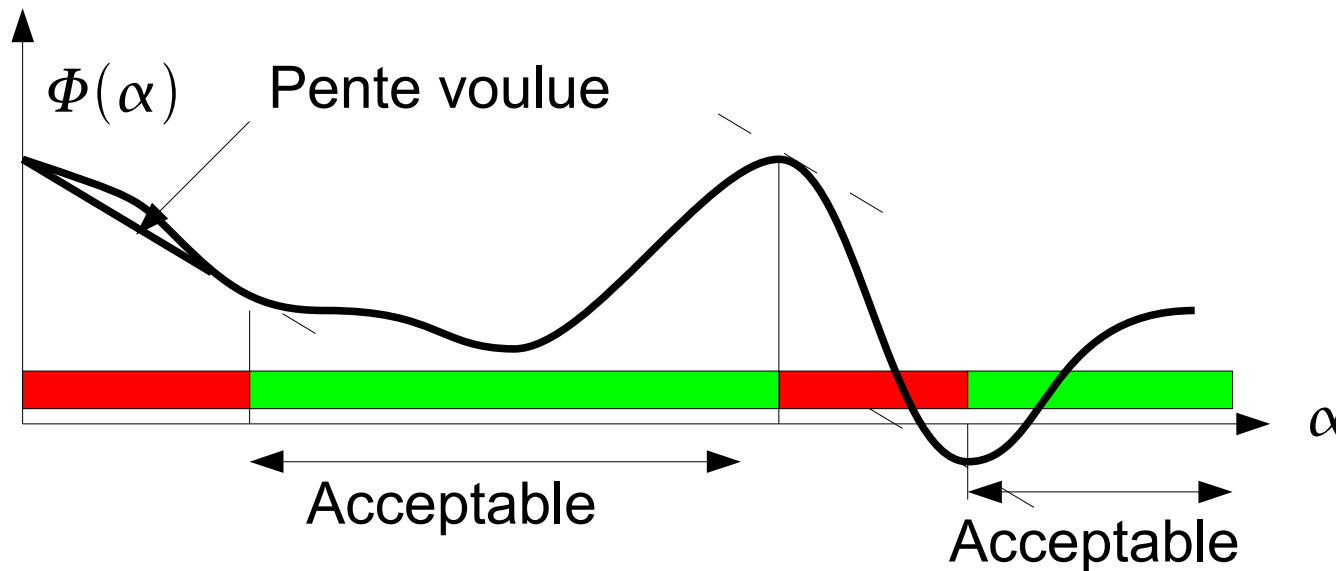
Habituellement, $c_1 \simeq 10^{-4}$



La Recherche en ligne

Condition de pente

On pose $\Phi(\alpha) = f(x_k + \alpha \cdot p_k)$ $\alpha > 0$



Condition utilisé dans d'autres méthodes de recherche imparfaite

Nouvelle condition: $\nabla f(x_k + \alpha \cdot p_k)^t \cdot p_k \geq c_2 \cdot \nabla f(x_k)^t \cdot p_k$

$c_2 \simeq 0.9$ si p_k est choisi par une méthode de newton ou quasi-newton

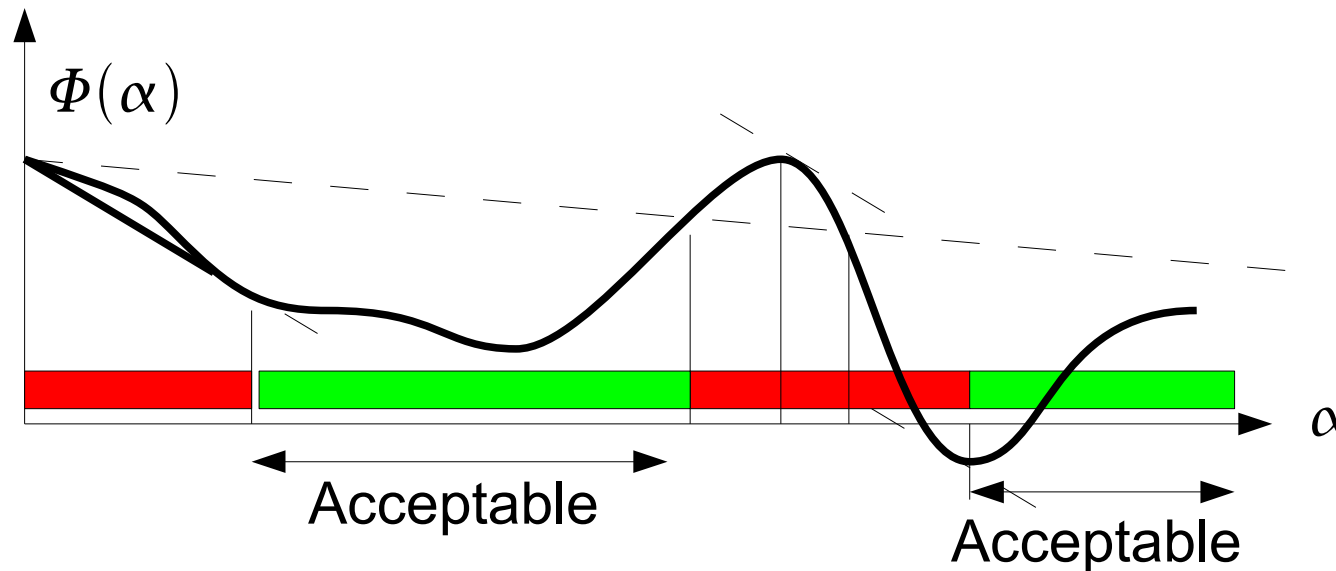
$c_2 \simeq 0.1$ si p_k est choisi par une méthode de gradient conjugué



La Recherche en ligne

Condition de Wolfe

On pose $\Phi(\alpha) = f(x_k + \alpha \cdot p_k)$ $\alpha > 0$



Condition utilisé dans d'autres méthodes de recherche imparfaite

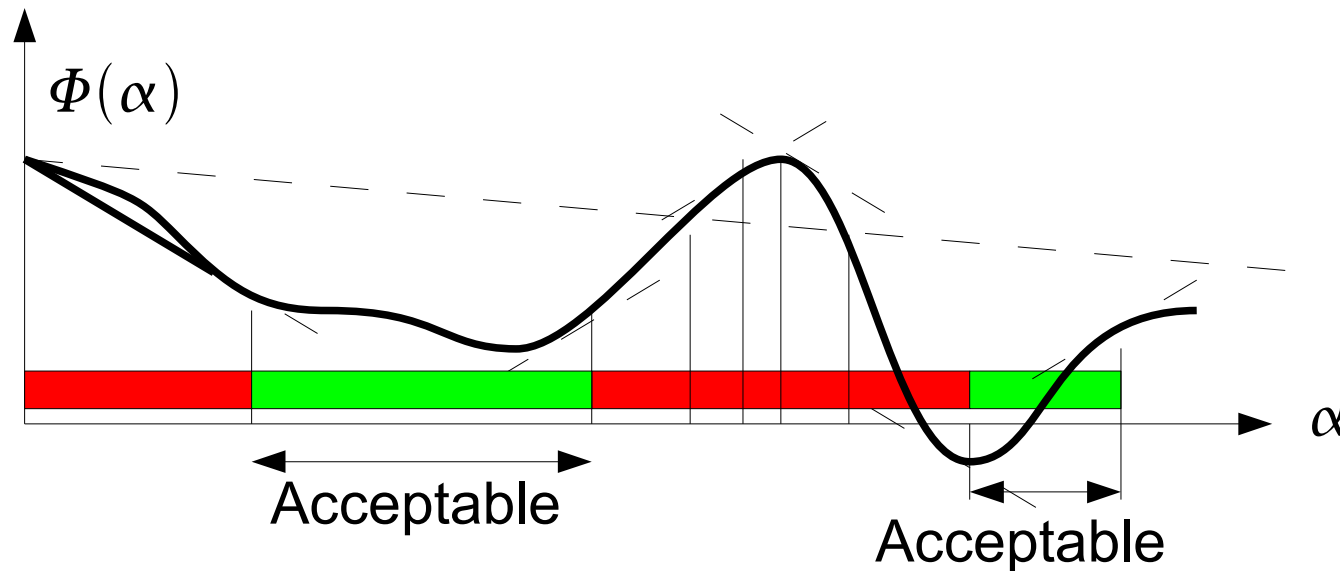
Conditions: $f(x_k + \alpha \cdot p_k) \leq f(x_k) + c_1 \cdot \alpha \cdot \nabla f_k(x_k)^t$
 $\nabla f(x_k + \alpha \cdot p_k)^t \cdot p_k \geq c_2 \cdot \nabla f(x_k)^t \cdot p_k$



La Recherche en ligne

Condition forte de Wolfe

On pose $\Phi(\alpha) = f(x_k + \alpha \cdot p_k)$ $\alpha > 0$



Condition utilisé dans d'autres méthodes de recherche imparfaite

Conditions: $f(x_k + \alpha \cdot p_k) \leq f(x_k) + c_1 \cdot \alpha \cdot \nabla f_k(x_k)^t$
 $|\nabla f(x_k + \alpha \cdot p_k)^t \cdot p_k| \leq c_2 \cdot |\nabla f(x_k)^t \cdot p_k|$



La Recherche en ligne

Strong Wolfe line search (1/2)

Algorithme Principal

Choisir $\alpha_1 > 0$ et α_{\max}

$\alpha_0 = 1$

$i = 1$

repeat

évaluer $\Phi(\alpha_i)$

si $(\Phi(\alpha_i) > \Phi(0) + c_1 \alpha_i \Phi'(0))$ et
 $(\Phi(\alpha_i) \geq \Phi(\alpha_{i-1})$ et $i > 1)$

$\alpha^* = \text{Zoom}(\alpha_{i-1}, \alpha_i)$ et Stop

évaluer $\Phi'(\alpha_i)$

si $(|\Phi'(\alpha_i)| \leq -c_2 \Phi'(0))$

$\alpha^* = \alpha_i$ et Stop

si $(\Phi'(\alpha_i) \geq 0)$

$\alpha^* = \text{Zoom}(\alpha_i, \alpha_{i-1})$ et Stop

choisir $\alpha_{i+1} \in]\alpha_i, \alpha_{\max}[$

06/02/2006 $i = i + 1$

end repeat

La séquence des α_i est monotoniquement croissante.

Cette procédure utilise l'information que l'intervalle (α_{i-1}, α_i) contient des pas qui vérifient la condition forte de Wolfe si l'une des conditions suivantes est vérifiée:

- α_i viole la condition de décroissance suffisante;
- $\Phi(\alpha_i) \geq \Phi(\alpha_{i-1})$;
- $\Phi'(\alpha_i) \geq 0$.

Condition de Wolfe non vérifiée

Condition de Wolfe Forte vérifiée

Pas une direction de descente



La Recherche en ligne

Strong Wolfe line search (2/2)

Fonction Zoom(α_{lo}, α_{hi})

```

repeat
  interpoler de façon à trouver un premier  $\alpha_j$ 
  entre  $\alpha_{lo}$  et  $\alpha_{hi}$ 
  évaluer  $\Phi(\alpha_j)$ 
  si ( $\Phi(\alpha_j) > \Phi(0) + c_1 \alpha_j \Phi'(0)$ ) ou
    ( $\Phi(\alpha_j) \geq \Phi(\alpha_{lo})$ )
     $\alpha_{hi} = \alpha_j$ 
  sinon
    évaluer  $\Phi'(\alpha_j)$ 
    si ( $|\Phi'(\alpha_j)| \leq -c_2 \Phi'(0)$ )
       $\alpha^* = \alpha_j$  et Stop
    si ( $\Phi'(\alpha_j)(\alpha_{hi} - \alpha_{lo}) \geq 0$ )
       $\alpha_{hi} = \alpha_{lo}$ 
       $\alpha_{lo} = \alpha_j$ 
    end sinon
  end repeat
  
```

Si la fonction Zoom trouve un α_j qui satisfait la condition forte de Wolfe, on retourne cette valeur. Autrement, on cherche un α_j qui vérifient l'une des conditions suivante:

1. l'intervalle $\alpha_{lo} \alpha_{hi}$ contient des pas qui vérifient la condition de Wolfe
2. α_{lo} est, parmi les pas générés jusque là, le pas qui donne la plus petite valeur de fonction objectif
3. α_{hi} est choisi de façon à vérifier:
 $\Phi'(\alpha_{lo}) \cdot (\alpha_{hi} - \alpha_{lo}) < 0$

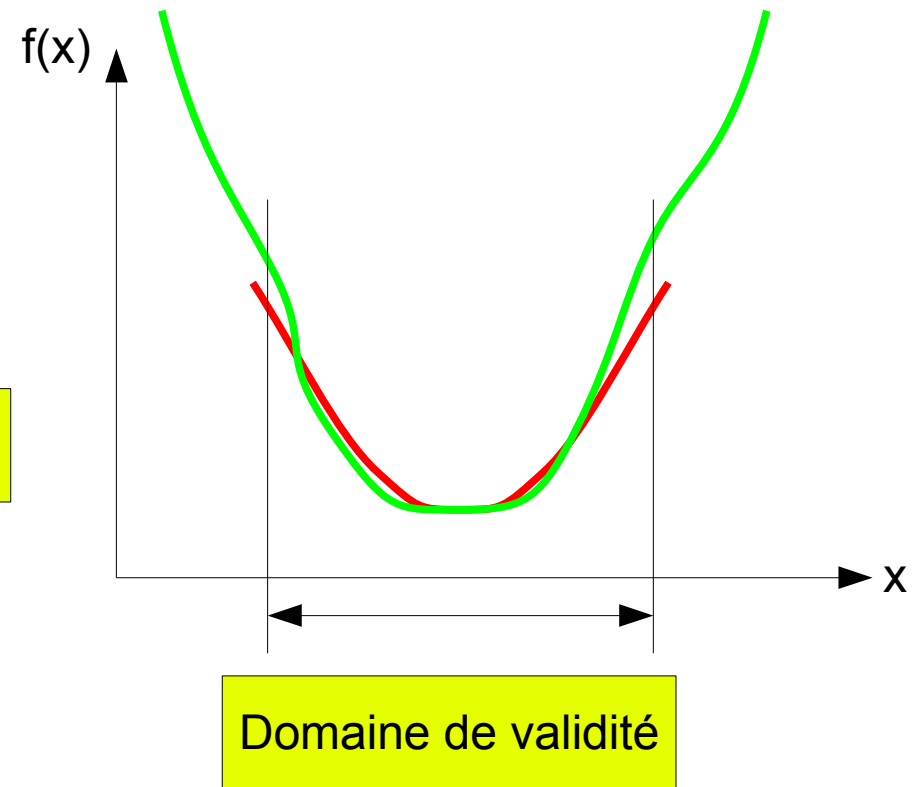
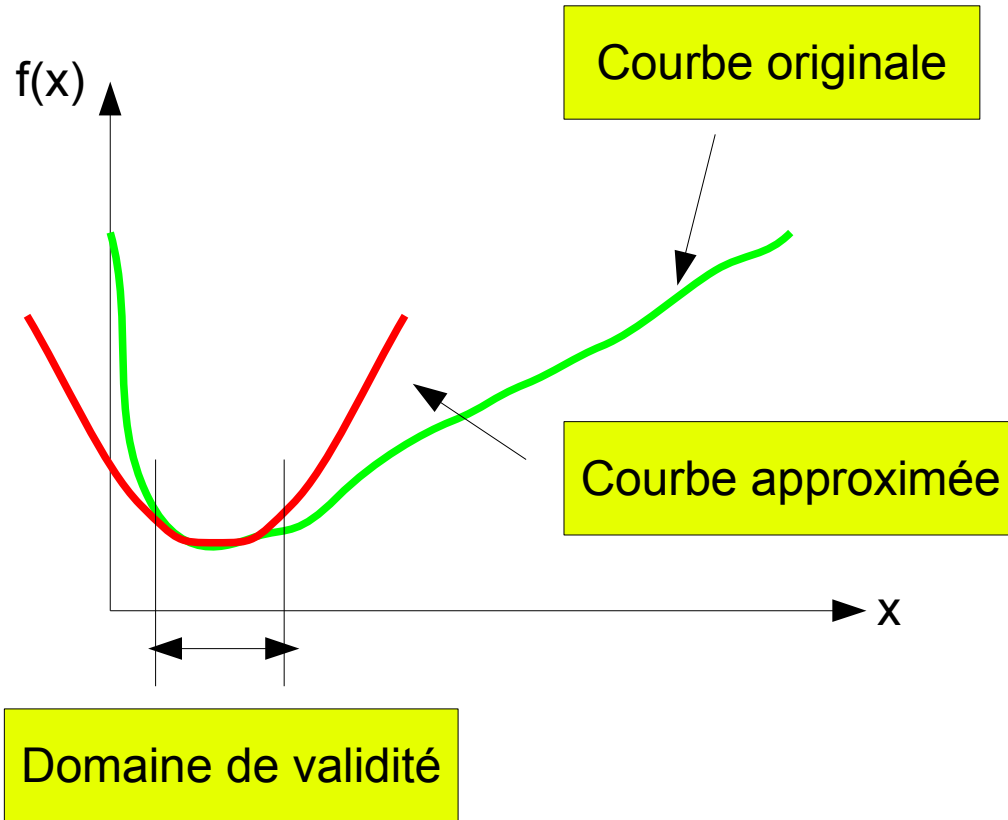
Condition de base non vérifiée

Condition de Wolfe Forte vérifiée



La Méthode de Région de Confiance

Introduction





La Méthode de Région de Confiance

Notations

On a un modèle :

$$m_k(p) = f(x_k) + \nabla f(x_k)^t \cdot p_k + \frac{1}{2} p_k^t \cdot B_k \cdot p_k$$

Et le développement au second ordre:

$$f(x_k + t \cdot p_k) = f(x_k) + \nabla f(x_k)^t \cdot p_k + \frac{1}{2} p_k^t \cdot \nabla^2 f(x_k + t \cdot p_k) \cdot p_k$$

Si $B_k = \nabla^2 f(x_k + t \cdot p_k) \rightarrow$ le modèle est en accord avec la fonction

On cherche $\min_p m_k(p)$ avec $\|p\| \leq \Delta_k$

Défini la taille de la région de confiance

Calcul du rayon de confiance:

$$\rho_k = \frac{f(x_k) - f(x_k + p_k)}{m_k(0) - m_k(p_k)}$$

Réduction
actuelle

Réduction
prédite

si $\rho_k < 0$ on rejette l'itération

si $\rho_k \simeq 1$ modèle en accord avec la réalité



La Méthode de Région de Confiance

Algorithme

On choisit $\Delta_{\max}, \Delta_0 \in]0, \Delta_{\max}]$ et $\eta \in [0, 1/4[$
 for $k=0$ to N

calcul de p_k par résolution de $\min_p m_k(p)$

évaluer ρ_k

si ($\rho_k < 1/4$)

$$\Delta_{k+1} = 1/4 \|p_k\|$$

sinon

si ($\rho_k > 3/4$) et ($\|p_k\| = \Delta_k$)

$$\Delta_{k+1} = \min(2 \Delta_k, \Delta_{\max})$$

sinon

$$\Delta_{k+1} = \Delta_k$$

end sinon

si ($\rho_k > \eta$)

$$x_{k+1} = x_k + p_k$$

sinon

$$x_{k+1} = x_k$$

end sinon

end sinon

end for

Si la qualité d'adéquation du modèle avec la réalité n'est pas suffisante, on réduit le domaine de validité du modèle

Sinon, on double le domaine de validité du modèle, dans la limite définie par Δ_{\max} .

Sinon, le domaine de validité du modèle ne change pas.

Dès que la qualité a atteint un niveau suffisant, on applique le vecteur de déplacement p_k à la variable x_k



La Méthode de Région de Confiance

Résolution approché du modèle

Résolution d'une approximation linéaire du problème original sous contraintes

Résolution approché de $m_k(p)$

- Calcul du point de Cauchy

$$p_k = \arg \min_p f(x_k) + \nabla f(x_k)^t p_k \text{ avec } \|p_k\| \leq \Delta_k$$

- Méthode DogLeg \rightarrow opt++

Approximation de la courbe par deux droites

- Minimisation dans le sous-espace bi-dimensionnelle

Méthode DogLeg sophistiquée

- Méthode de Steihaug

Méthode basée sur la méthode du gradient conjuguée

- Méthode de résolution presque exacte

Domaine de confiance du modèle

On a un modèle quadratique de dimension n , il sera résolu en n itérations



Conclusions

- Beaucoup de méthodes
- Toutes ont des défenseurs et des critiques (sauf la descente du gradient qui n'a que des critiques)
- Beaucoup de récents développements
- Quelques références:

J. Nocedal, S. J. Wright, « Numerical Optimization », Springer-Verlag, 2006

D. M. Himmelblau, « Applied Nonlinear Programming », McGraw-Hill, 1972

G. Vanderplaats, « Numerical Optimization Techniques: with Applications », McGraw-Hill, 1984

R. T. Haftka, Z. Gürdal, « Elements of Structural Optimization », Kluwer Academic Publisher, 1992